文章编号:1001-5078(2009)1317-04

光纤技术。

基于光纤光栅传感器的人体心率测量技术研究

陈会娟,苗长云,高 华,张 诚 (天津工业大学信息与通信工程学院,天津 300160)

摘 要:光纤光栅以其抗电磁干扰、体积小、寿命长、柔韧性好等特点,是构成智能服装的最具潜力的材料。文中根据人体心率信号的特点,设计了由金属材质构成的振动腔,采用 ANSYS 分析了腔的振动过程,确定了光纤光栅的封装方式,并在实验室中实现了心率信号的采集,完成了数据分析与信号提取的算法。实验结果表明:该传感器可完成人体心率信号的实时在线的采集与分析,测量误差小于1次/min。

关键词:智能服装:光纤光栅:心率测量:小波变换

中图分类号:TN212.14 文献标识码:A

Research on human heartrate measurement based on fiber Bragg grating sensor technology

CHEN Hui-juan, MIAO Chang-yun, GAO Hua, ZHANG Cheng

(College of Information and Communication Engineering, Tianjin Polytechnic University, Tianjin 300160, China)

Abstract; FBG is the most potential material for intelligent clothing because it has the characteristics such as anti-e-lectromagnetic interference, small size, long life and good flexibility. According to the characteristics of the human heartrate signal, the metal vibration cavity was designed. ANSYS was used to analysis the vibration of the cavity and determined the the FBG package method. Then in the laboratory the system achieved heart rate signal acquisition, completed the data analysis and signal extraction algorithms. The experimental results show that; the sensor completed signal acquisition and analysis in real-time online and the measurement error is less than 1 times/ min.

Key words: intelligent clothing; FBG; heart rate measurement; wavelet transform

1 引 言

心率指心脏每分钟搏动的次数,能够反映心脏 的工作状态,是人体重要的生理指标,心率异常是多 种心脏疾病的最为常见的表现,是临床诊断的重要 依据^[1]。

现今医学上对心率的测量主要有两种方法。一种是通过测脉搏的跳动次数,理论上认为脉搏跳动次数与心率一致,这是一种间接的测量法;另一种是借助测心电的方式,这种方法更为准确些,但测量过程繁琐。而本文中的用光纤光栅传感器进行心率测量,只需将传感器贴近心脏压紧即可,方便、快捷,受人为因素影响很小,可以实现对心率的实时检测。

光纤光栅以其便于构成分布式传感网络、对电

磁干扰不敏感、结构简单、体积小、寿命长等优点,日益受到国内外学者的关注,加上光纤光栅其本身所具有的柔韧性,易于埋入织物等特点,是构成智能服装最受瞩目的材料。本文利用分布式光纤光栅构成振动传感器,来测量人体的心率信号,为智能服装中的光纤光栅传感器的构成、测量及数据处理算法做了有益的探讨。

2 光纤光栅传感器原理

由光纤光栅耦合波理论[2-3]可知,当满足相位

基金项目:国家自然科学基金项目(No. 60844002)资助。

作者简介:陈会娟(1986 -),女,在读研究生,主要研究方向为 传感器和信号处理。E-mail;chenchen860416@126.com

收稿日期:2009-06-25;修订日期:2009-08-24

匹配条件时,光栅的布拉格波长为:

$$\lambda_{R} = 2n_{\text{eff}}\Lambda \tag{1}$$

式中, λ_B 为布拉格波长; n_{eff} 为光纤传播模式的有效 折射率: Λ 为光栅周期。

布拉格波长的峰值反射率和透射率为:

$$R = \tanh^{2}\left(\frac{\pi\Delta n_{\text{max}}}{\lambda_{B}}L\right), T = \cosh^{-2}\left(\frac{\pi\Delta n_{\text{max}}}{\lambda_{B}}L\right)$$
 (2)

式中, Δn_{max} 是折射率最大变化量;L 是光栅长度。可 以看出, Δn 越大,反射率越高,反射谱宽越宽;L 越 大,透射率越高,反射谱宽越窄[4-5]。

如图 1 所示, 当一宽谱光源入射进入光纤后, 经 讨光纤光栅会有波长为式(1)的光返回,其他的光 将发生透射。反射的中心波长信号 λ_B 跟光栅周期 Λ 、纤芯的有效折射率 n 有关,所以当外界的被测量 引起光纤光栅温度、应力改变都会导致反射中心波 长的变化。也就是说,光纤光栅反射光中心波长的 变化反映了外界被测信号的变化情况[6-7]。

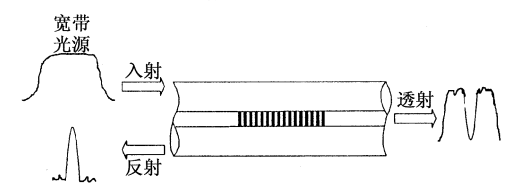


图 1 光纤光栅结构与传光原理

光纤光栅的中心波长与温度和应力的关系为:

$$\frac{\Delta \lambda_B}{\lambda_B} = (\alpha_f + \xi) \Delta T + (1 - P_e) \Delta \varepsilon \tag{3}$$

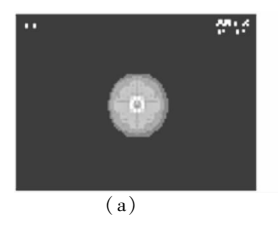
式中, $\alpha_f = \frac{1}{\Lambda} \frac{d\Lambda}{dT}$ 为光纤的热膨胀系数; $\xi = \frac{1}{n} \frac{dn}{dT}$ 为 光纤材料的热光系数。若忽略温度的影响,或在恒 温条件下只对应变做测量,式(3)就可以写为:

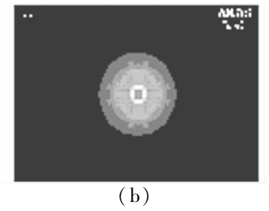
$$\frac{\Delta \lambda_B}{\lambda_R} = (1 - P_e) \Delta \varepsilon \tag{4}$$

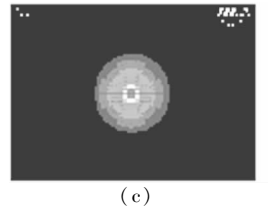
其中.

$$P_e = \frac{1}{2}n^2((1-\mu)P_{12} - \mu P_{11}) \tag{5}$$

式中, $\Delta \varepsilon$ 是轴向应变; μ 是泊松比。对于典型的石 英光纤:n = 1.46, $\mu = 0.16$, $P_{11} = 0.12$, $P_{12} = 0.27$,则 $P_* = 0.22$ 。所以式(4)可以写为:







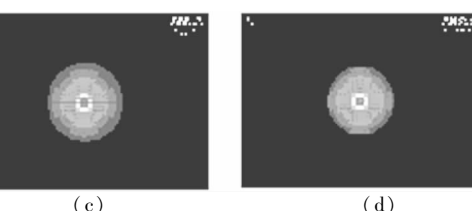


图 3 膜受迫振动过程

$$\frac{\Delta \lambda_B}{\lambda_R} = (1 - P_e) \Delta \varepsilon = 0.78 \Delta \varepsilon \tag{6}$$

上面的公式就是光纤光栅应变测量的一般公 式,也是裸光栅应变测量的计算公式[8]。

心率测量时,心脏每次振动都对光纤光栅有力 的作用,都会相应地引起光纤光栅的应变,而这个应 变又反映在光纤光栅反射中心波长的变化,这样,连 续的反射中心波长的变化形成的信号波形就与心跳 过程是一致的。

3 传感器的构成与振动分析

光纤光栅传感器的构成如图 2 所示,图中右侧 为薄膜,光纤光栅放置在其内侧,左侧为金属材质的 腔。测试时,有膜的一侧与人体心脏外侧接触,采集 到心率振动信号,通过金属腔对振动进行一定放大 后,又作用于光纤光栅上,送入后级波长解调系统进 行解调。

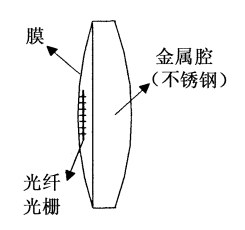


图 2 光纤光栅传感器设计模型

传感器使用的光纤光栅主要成分为二氧化硅, 外径 125 µm, 中心波长为 1538.4 nm, 光纤光栅的径 向长度为 10 mm。传感器腔的金属部分由不锈钢铸 成,膜与光纤光栅的黏合用的黏合剂为 α -氰基丙 烯酸乙酯,结构式为 CH, = C(CN) - COO - C, H, 。 该黏合剂为无色透明流动性良好的液体,易挥发,遇 水即聚合固化。黏接力强、黏接材料广泛,可用于钢 铁、有色金属、橡胶、皮革、塑料、陶瓷、玻璃、木材等。 尤其是黏合光纤光栅和膜后,不影响膜本身的振动 特性和光纤光栅的特性。

心率测量时,贴近心脏的膜先是受迫振动,将心 脏振动信号由膜侧传进腔内,腔内空气受压振动,振 动在腔内反弹至膜上,用 ANSYS 有限元法对传感器 腔的振动过程进行分析,图3为膜受迫振动一个周 期的全过程。

图 3 中,由 ANSYS 有限元模拟腔内振动可知, 正面视图中膜中心部分颜色较浅,为振动最强部分, 越往边沿部分振动越弱。所以我们可以得出,将光 纤光栅封装固定在振动最强的膜中心部分,这样可 以最大限度的吸收心脏的振动, 获取最强的振动 信号。

4 心率测量实验与数据分析

心率测量时采样率设置为1 kHz,即每秒记录 的心率信号为 1000 个。先用 matlab 对信号数据进 行重现,如图4所示。此信号掺杂了心率、呼吸、噪 声等信号,还有温度对传感器的影响。正常成人的 心率为每分钟60~100次,频率为1~1.5 Hz。如图 4 所示,纵坐标为反射中心波长,横坐标为心率采样 时间。通过图 4 我们可以看出,心率信号有信号弱、 噪声强、频率低等特点,基于信号的这些特征,用小 波来对信号进行分析最为合适。

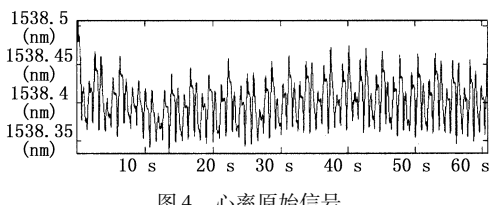
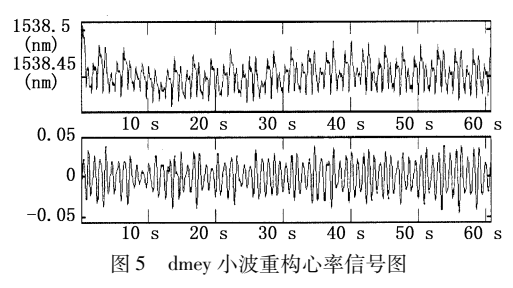


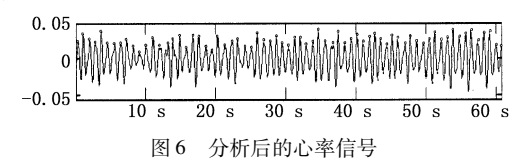
图 4 心率原始信号

通过对几种小波基的尺度函数和小波函数作了 功率谱分析,发现 dmey 小波具有良好的时频局化 能力,且有对称性,高通和低通较其他小波函数更近 似理想的滤波器,所以采用 dmey 小波对信号进行 分析。如图 5 所示,S 为原始心率信号,d。为重构的 第9层 dmev 小波。对原信号进行小波分解,小波基 函数选用 dmey 小波,重构第9层细节信号(d_o),由 图中可以看出, d。与原始信号相比, 有效地去除了 毛刺、噪声和各种干扰信号,更精确地体现心率信 号,也便于对信号进行更深层次的处理,以便更直接 方便地得出心率。



由图 5 可知,每个心动周期都会产生一个类似 干心电信号中 ORS 波群的体震信号波群,目在每个 波群中都有一个最大峰值点,被称为J波,尤其是重 建的 d_{\circ} 。因此,确定J波的位置就可以定位这个波 群,检测心率的目的。对重建的 dmey 小波信号 d。

应用模极大值算法[9] 提取每个心动周期中的最大 峰值点,并用圆圈标记,如图6所示。由此求得的此 受试者的平均心动周期为 1.15 s,心率为 69 次/ min,与表1所示的程序计算结果基本吻合。



对 15 名随机的被测对象应用上述方法测量心 率,以同步记录的单通道心电仪器测得的心电信号 作为基准进行检验,数据处理结果如表1所示。

对表1中,数据数组为实验记录下来的采样点 的个数,而采样频率为1 kHz,这样就能直接得出测 量的时间。心动次数为在实验测量的时间内被测者 心动的次数,通过测量时间和相应的心动次数就能 够计算出被测试者每分钟的心动次数,即心率。

表1 试验所得数据

被测者	数据数组	时间 /s	心动次数(次)	试验测 得心率 (次/min)	心电仪 测得心率 (次/min)		
1	<572231 ×1 >	57.223	81	84	84		
2	<64125 ×1 >	64. 125	87	82	81		
3	<56598 ×1 >	56.598	66	70	71		
4	<68576 ×1 >	68.576	74	65	65		
5	<59104 × 1 >	59.104	79	80	80		
6	<63692 ×1 >	63.692	77	73	72		
7	<69156 ×1 >	69.156	92	80	80		
8	<61254 ×1 >	61.254	83	81	82		
9	<61437 ×1 >	61.437	78	76	76		
10	<59848 ×1 >	59.848	86	86	87		
11	<66889 ×1 >	66.889	79	71	71		
12	<61026 ×1 >	61.026	82	81	82		
13	<59624 ×1 >	59.624	69	70	70		
14	<54256 ×1 >	54. 256	69	76	76		
15	<64581 ×1 >	64.581	95	88	89		

误差分析:

(1) Max
$$|M - M'|_{i} = 1, i = 0, 1, \dots, 15$$

Max $\frac{|M - M'|_{i}}{M'} = 1.41\%, i = 0, 1, \dots, 15$

$$(2) \overline{X} = \frac{\sum_{i=1}^{15} |M - M'|_{i}}{15} = 0.47$$

$$S = \sqrt{\sum_{i=1}^{15} (M - M')^{2}} = \sqrt{\frac{0.47}{15}} = 0.031$$

从表 1、表 2 的所示的实验数据和相关的误差分析结果可以看出,对随机人群进行的心率测量实验,与心电图测得心率相比,最大的误差不超过 1 次,最大误差百分比为 1.41%,即准确率可达98.5%以上。而计算所得的标准差为 0.031,说明系统有很好的稳定性。

	表 2	试验数	据处	理结	果
--	-----	-----	----	----	---

被测者	试验测得 心率(<i>M</i>)	心电仪测 得心率(M')	M-M'	M - M' M' /%
1	84	84	0	0
2	82	81	1	1.23
3	70	71	- 1	1.41
4	65	65	0	0
5	80	80	0	0
6	73	72	1	1.38
7	80	80	0	0
8	81	82	- 1	1.22
9	76	76	0	0
10	86	87	- 1	1.15
11	71	71	0	0
12	81	82	- 1	1.22
13	70	70	0	0
14	76	76	0	0
15	88	89	- 1	1.12

试验所得数据还是存在一些偏差,主要原因是测量时传感器与人体接触,易受温度影响,试验过程中人为操作也会引入误差。此外对信号的去噪和提纯的相关算法不够精细,还有待进一步的改进。

5 结 论

本文提出一种基于光纤光栅传感器的心率测量 方法,设计了传感器并对其进行封装,对采集到的信 号数据进行分析得到受试者的心率。以同步采集的 心电信号作为基准,应用此方法对 15 名被测对象进行检验,结果表明,基于光纤光栅传感器的心率测量方法具有较高的准确性。该方法无须电极,不影响受试者正常的生活,为受试者在家中监测心脏的工作情况提供了可能。该方法也对评估人们的工作压力、疲劳度和精神状况等日常生活状况有着重要意义。

参考文献:

- [1] 金晶晶,王旭,杨丹.基于体震信号的心率测量方法 [J]. 东北大学学报,2009,(2):176-179.
- [2] 张伟刚,涂勤昌,孙磊,等. 光纤光栅传感器的理论、设计及应用的最新进展[J]. 物理学进展,2004,24(4): 382-401.
- [3] 黄尚廉. 分布式光纤温度传感器系统的研究[J]. 仪器 仪表学报,1999,12(4):359-364.
- [4] Mel C Maki, Jeremy K Weese. Fiber optic fence sener developments [J]. IEEE, 2004;8-12.
- [5] Yuan J Q, Wei W B. A new method for weak signal detection based on wavelet transform in the ocean [J]. Aerospace Electronic Warfare, 2006, 22(2):55-57.
- [6] Trefny Z, Trojan S, Toman V, et al. New trends in ballistocardiography [J]. Measure Science Review, 2003, 3 (2): 45-48.
- [7] Kim J M, Hong J H, Cha E J. Development of ECG and BCG measuring system on moving wheelchair using CDM Anetwork [C]. 6th International Special Topic Conference on ITAB. Tokyo: IEEE, 2007:179 – 181.
- [8] Wei G F, Wang Z D. Wavelet analyses preliminarily applying in coastal waters [J]. Ecologic Science, 2006, 22(2):116-119.
- [9] Study on weigh-in-motion system based on chirped fiber gratings [C]. Proceedings of Advanced Sensor Systems and Applications, 2007;512 – 526.